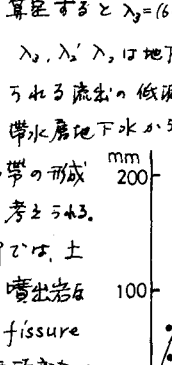


1. はじめに　オホ紀火山岩流域における流出特性は、まず長期流出の低減特性にみられるが、短期流出についでも、損失雨量が、他の流域に比較して大きいことが指摘されるよう。これは、いずれも流域における雨水の浸透保留現象によって特徴づけられており、一般的には、損失雨量が 200 mm 以上に達することが認められるものの、表層土壤の表面の条件によつて、同一降雨に対する流出成分に、かなりの相違を生じるなど、火山流域の特性が流出に与える影響は、まだ不明な点を多く残す。

2. 対象流域概要 研究対象流域は阿蘇カルデラ式火山の斜面に設定された A(張陽)試験地 (0.153 km^2) と B(池平)試験地 (0.0754 km^2) で、いずれも表層は有機質を多量に含み、黒灰色を呈した、通常黒土と、かっ色を呈する火山灰質粘性土(通称赤土)が互層をなし、焼岩層をはじめて、 10 m 以上の堆積層を形成している。A 試験地の植生は、上流部 8 ha が牧草地、下流部 4 ha には樹木全 $10 \sim 20$ 年程度の杉・桧林があり、その他は雜草地である。また B 試験地は流域、上流部 $\frac{1}{2}$ を倉石林地が約 23 、残り $\frac{1}{2}$ は畑と荒地である。本報告では A 試験地を主体としている。表層土壤の黒土は 50% 粒径が $0.01 \sim 0.05 \text{ mm}$ で、ロームないし、シルト質ロームに分類され、空隙率は 70% 台の比較的大きい値を示すが、この空隙はさきまで微粒子土壤の空隙であって、有効空隙率は $20 \sim 30\%$ である。とのことで透水性は低く、飽和透水係数で $10^{-4} \sim 10^{-3} \text{ cm/s}$ の値である。

3. 預測結果とその考察 $Q = Q_0 e^{-\lambda t}$ の型で流量の減衰が
 あらわされるとして、A試験地について、表面流が発生した出水(49.
 50年25年前の約20ヶ所)の各流出成分毎の入を算定すると $\lambda_3 = (6 \sim 9) \times 10^3$ 年
 $\lambda'_2 = (6 \sim 8) \times 10^{-2}$ 年、 $\lambda_2 = (2 \sim 3) \times 10^{-1}$ 年、となる。 $\lambda_3, \lambda'_2, \lambda_2$ は地下水流出
 および中间流、早川中间流に対するものと考えられる流出の減衰係数である。
 λ_3 は低減部は、地層から考え、層状の帶水層地下水流からの流出
 とは考えられにくく、そのような層状の飽和帶の形成 mm
 は、さうに深部へ浸透した雨水によるものと考えられる。
 しかし本試験地のような山腹斜面上流部では、土
 壤表層と通連した雨水が、地層中に散在する噴出岩反
 100-
 どうの割目や熔岩の空隙に浸入(左、1)から *fissure water*
 0-
 として浸透過程にあるものの一部が露頭部分で
 河道へ流出したものである。ついで λ'_2, λ_2 はダルシー


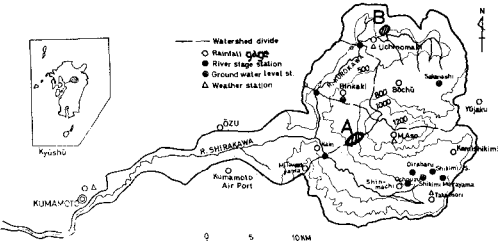


図-1 流域概要

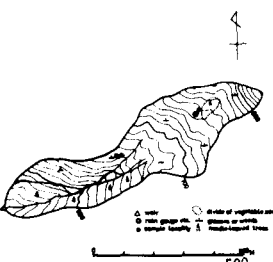


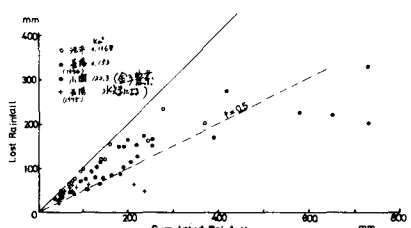
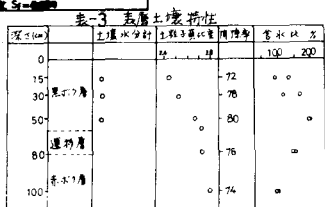
図-2 A(医療)試験地



图-3 B(地平)测点

卷一
成化
元年
成化平河州
成化平河州

表-2 B流域地形
 流域面积 0.075 Km^2
 流域长 500m
 水流平均坡度 $9^\circ \quad \text{SIN}9^\circ = 0.164$
 流域无高程 EL 53.00 m 海平面基准点
 河段无高程 EL 51.00 m 最高断面点
 河段无坡度 10° 最高断面点
 断面平均宽 100m
 断面面积 5000m^2



Cumulat

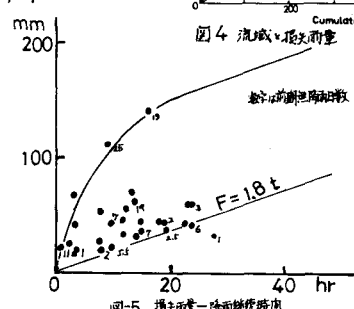
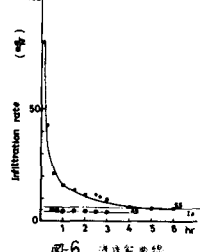


図-5 摂氏雨量一降雨継続時間



186

則に I_1 が I_2 の $\frac{I_1}{I_2}$ 倍である。斜面の傾斜に沿う、斜面勾配が大きいことから、水面勾配の無視できる一種の Kinematic Wave の流れと考えられる流出の低減である。この中で I_2 のおもい中間流は、むしろ地下水流出とされるものであつて、 I_2 の地下水と同一性状のものが、浸透空路の抵抗状態によつて、異なつて伝播時間 t_{poc} を示すものと考えられる。

A 試験地において降雨強度 0.5 mm/min (最終浸透能にほぼ対応する) のときは、流量増加がさきやかで少しだ。 $(\text{河道降雨水量} + \text{增加量})$ さらに $3.0 \sim 3.5 \text{ mm/min}$ のときにやかで流量増加が顕著で、これは表流水による表面流出による流量増加がみられる。 3.0 mm/min (18 mm/h) は浸透能から考えると、かなり大きい値といえるが、両流域における、この表面流の発生は、ほぼ同時に観測された。 t_{poc} の關係からわかる。これは Manning 则を仮定した場合、以下の Kinematic Wave の流れが相似であることを示している。ただし有効降雨強度波形についての角屋博士の仮定と同一の手法 $k_e = f_p \cdot r$ (f_p : ピーク流出係数, r : 到達時間内平均降雨強度) によつて、つまりに前述の早め中間流と遅め中間流を τ_{poc} の手法を適用してハイドロログラフの立ち上りおよび減滅部の性状から伝播速度 $\frac{\tau_{poc}}{\Delta t} = 1.2 \text{ %}$ が求められ、表層の有効空隙率 $\theta = 0.3$ (土壤水分計による測定値を参考) として $\tau_{poc} = 1 \text{ min}$ となる。さらにおもい中間流については具体的に土壤表面からの深さを算定することはできなかつたが、約 50 cm 深さに土壤の含水比が常時高部分があることを考慮して、こゝに一度停滞した雨水が前述の地中の割合などへ供給されるものと考え、土壤水分計および円筒型ライシメーターの 50 cm 層通過の水分量と浸透経過時間と指標として、この成分への有効降雨と考えられる。一方減滅率 λ_2 はほど近く減滅を示す場合の伝播速度を試行錯誤的に算定する $\lambda_2 = \frac{\tau_{poc}}{\Delta t} = 0.24 \text{ cm/s}$ ($\theta = 0.3 \sim 0.1$, $\lambda_2 = 0.20 \sim 0.72 \text{ %}$), $\frac{\tau_{poc}}{\Delta t} = 0.048 \text{ %}$ となる。

この場合の透水係数は不明である。土壤中の透水係数とのものではなく、種々の割合を通過する雨水の空路によって異なる、かけの透水係数といふ。したがつてこの値を実験的に決定することは困難であつて、上記のような各流束成分の減滅係数より試行錯誤的に、現実の流出強度の合致する有効降雨と透水係数を算定せらるるといひ。以上の結果をもとに特性曲線図により各流束成分を計算し、ハイドロログラフの再現を試みる。そのときの各段落への有効降雨は表-6 のようである。初期灌漑は 15 cm 層の土壤水分量の増大はじめ3時間までの雨量をとり、計算時間 Δt は10分としている。両流域を比較するため連年の水収支を表-4, 5 に示す。

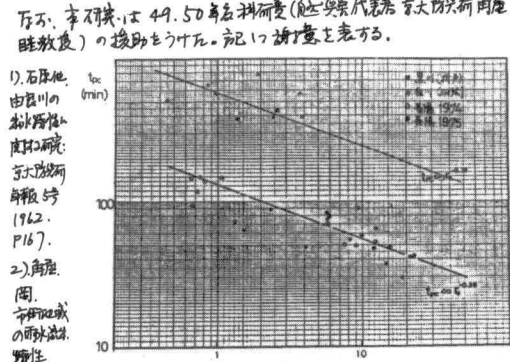


図-7 浸透時間 - 有効降雨強度 t_{poc} (mm/hr)
研究会(1号B, 1971)『149.0』、雨漏溝、流速測定時間と実用推定式 30 日土壤含水量等式(1975)
4) 1. 同じ 5) 土壤空隙、流出構成解析 土壤含水量等式(1971) 64-04, 1974

表-4 B 試験地水収支

降雨量 mm	流出量 mm	積留高 mm	流出率 %
74-9	164.5	0.5	16.4
10	168.5	0.5	16.8
11	69	0	6.9
12	61	0.5	6.0
75-1	39	0	3.9
2	115	0	11.5
3	77	0	7.7
4	468	1.9	44.9
5	99.5	0.5	8.9
6	86.6	38.6	4.8
7	26.9	10.8	1.6
8	8.3	0.5	0.8
9	8.25	0	0.85
9-8+1	270	194.9	21.0
合計	2552.5	194.9	20.32

表-5 A 試験地水収支

降雨量 mm	流出量 mm	積留高 mm	流出率 %
74-7	520	333.9	18.6
8	209.5	53.4	15.0
9	274.5	85.2	19.5
10	260.0	139.7	12.0
11	94.5	45.7	49.9
12	119.5	52.4	66.1
75-1	76.5	48.1	26.9
2	157	104.8	50.3
3	6.9	5.7	8.3
4	344	198.6	14.9
5	81.5	61.5	20.0
6	844.5	574.9	24.7
7	209	178.2	30.8
8	309.5	110.3	19.9
9	111.5	45.0	66.1
10	134	84.7	49.3
11	130	51.4	28.6
12	98	65.6	32.9
9-8+1	1293	1620.7	11.57
1~12+1	2562.5	1600.6	961.9

表-6

	74-10-2	75-7-6
初期潜伏時間	6.5	累計 7.0 累計
表面貯留	14.0	15.0
早・中間流	2.3	228 30 250
方差 σ^2	4.8	27.6 4.7 29.7
地下径流	21.0	48.6 16.8 66.5
降水量	67.5	57.0
		189 10.5

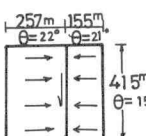


図-8 A.Ex.Basin Model

